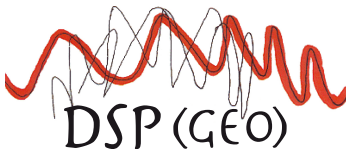


Local Frequency Estimation

Calandrini Roberto
Pintus Alessandro

12 aprile 2011



Obiettivo

- ▶ valutazione di attributi sismici dipendenti dalla frequenza con particolare attenzione alla frequenza locale
- ▶ valutazione del fattore di assorbimento (*forward modeling*)

Indice

Frequenza Locale

Terminologia

Tecniche di stima

Sintetico con Assorbimento e Dispersione

Sintetico REMO

Modello di Kjartansson

Confronto tecniche di stima

Sintetici

tutti gli esempi, da Barnes a STFT

confronto Barnes con derivazione nel tempo $\frac{d}{dt}$ o nelle frequenze $i\omega$

Conclusioni e Intenzioni Future

Appendice Kjartansson

Terminologia

- ▶ la traccia sismica reale sarà indicata con il termine $x(t)$
- ▶ la traccia sismica complessa sarà indicata con il termine $c(t)$ ottenuto mediante la trasformata di *Hilbert*

$$c(t) = x(t) + iH\{x(t)\} = x(t) + ih(t) = A(t)e^{i\phi(t)}$$

Tecniche di stima della Frequenza Locale

- ▶ Barnes: derivazione della fase istantanea mediante filtro derivatore

$$f_i(t) = \frac{1}{2\pi} \frac{d\phi(t)}{dt} = \text{unwrap}(\phi(t)) * [1 - 1] f_c$$

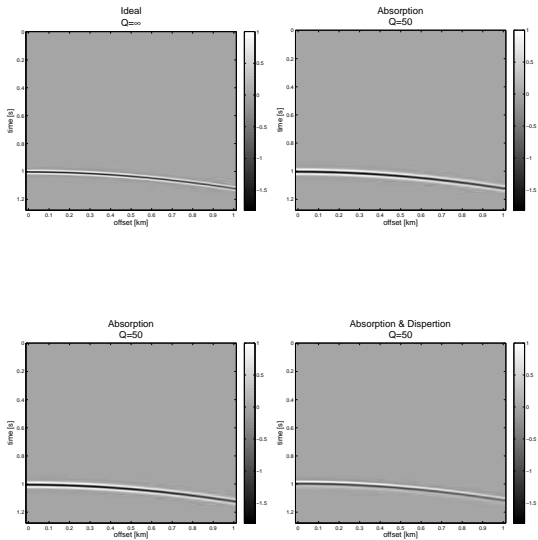
- ▶ Fomel:

$$f_i(t) = \frac{1}{2\pi} \frac{d\phi(t)}{dt} = \frac{1}{2\pi} \frac{x(t)h'(t) - x(t)'h(t)}{x(t)^2 + h(t)^2} \implies \mathbf{f} = \frac{1}{2\pi} (\mathbf{D} - \varepsilon \mathbf{I})^{-1} \mathbf{n}$$

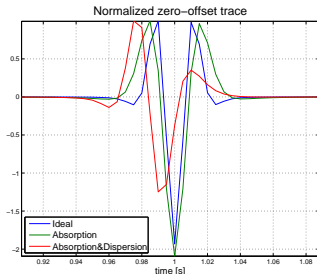
dove \mathbf{D} è una matrice che contiene sulla diagonale principale il denominatore e \mathbf{n} è il vettore del numeratore

- ▶ Shaping by Fomel \implies non compreso e quindi non utilizzabile...
- ▶ STFT (*Short Time Fourier Transform*)
 - ▶ inseguimento del massimo intra-slice
 - ▶ inseguimento del massimo intra-slice previa pesatura con finestra gaussiana centrata sulla frequenza dominante
 - ▶ calcolo del baricentro intra-slice

Sintetico REMO



Sintetico REMO



- ▶ tutte le tracce sono state normalizzate al valore massimo presente nella traccia (come nella slide precedente)
- ▶ dal sintetico ottenuto mediante il software *REMO* non si capisce quale sia lo spettro della sorgente
- ▶ effetti di bordo sempre presenti (in particolare con riflettori poco profondi)

Si è deciso di costruire un nuovo sintetico descritto nelle slide seguenti

Modello di Kjartansson

Kjartansson assume il fattore Q come:

- ▶ perdita frazionale di energia per ciclo di sollecitazione:

$$Q = \frac{4 * \pi * W}{\Delta W}$$

- ▶ costante in frequenza
- ▶ variabile nello spazio $Q(x, y, z)$

Filtro di Assorbimento (1)

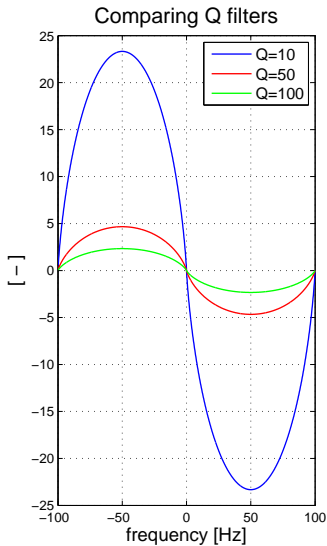
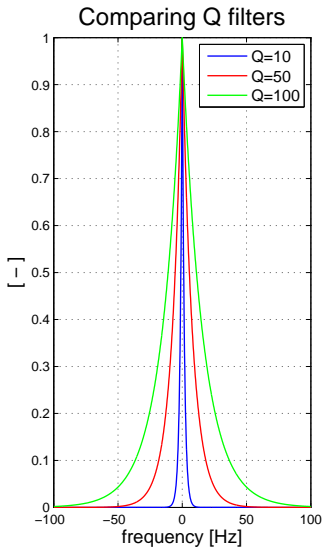
Filtro di Assorbimento:

- ▶ $|A(\omega, \vec{x})| = e^{-\frac{|\omega|}{2Q(\vec{x})} \int_{ray} s(\vec{x}) d\vec{x}}$
- ▶ $\angle A(\omega, \vec{x}) = \frac{H(|\omega|)}{2Q(\vec{x})} \int_{ray} s(\vec{x}) d\vec{x}$

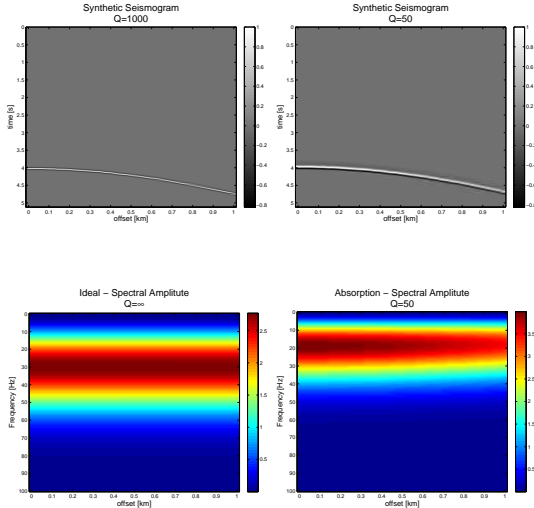
Approssimazioni:

- ▶ $Q(\vec{x}) = Q(z)$
- ▶ strati piani paralleli $\implies \int_{ray} s(\vec{x}) d\vec{x} = 2 \left[\sum_i^{strati} raypath_i \cdot s_i \right]$

Filtro di Assorbimento (2)



Sintetici con il modello di Kjartansson



decadimento delle ampiezze spettrali e frequency down-shift ottenuto mediante il filtro di assorbimento

Conclusioni e Intenzioni Future

- ▶ proporre un algoritmo di stima del fattore Q
- ▶ tentare di inferire una relazione tra frequenza e fattore Q dai dataset che saranno disponibili (a breve) da eni
- ▶ valutare le potenzialità della scomposizione in basi ortogonali con ampiezze tempo varianti proposte da Priestly

Modello di Kjartansson

Assume che il fattore di qualità Q sia un parametro del materiale **indipendente dalla frequenza**, ed in questo senso costante. Il parametro Q resta comunque funzione delle coordinate spaziali, l'unica assunzione fatta da questo modello (sostenuta anche sperimentalmente in laboratorio da Kjartansson), è l'invarianza della perdita frazionale media di energia per ciclo, rispetto alla frequenza di sollecitazione (sforzo), ovvero:

$$Q(w) = Q = \frac{4 * \pi * W}{\Delta W}$$

Kjartansson arriva ad ottenere la forma del filtro di assorbimento e dispersione corrispondente ad un'assunzione di questo tipo attraverso una serie di passaggi logici che si sviluppano dal legame sforzi-deformazioni, imponendo solamente i vincoli di:

- ▶ Causalità della risposta del sistema fisico
- ▶ Linearità del comportamento del materiale sottoposto a sollecitazioni di piccola ampiezza

Il legame sforzi-deformazioni in un materiale viscoelastico lineare può essere espresso attraverso un legame convolutivo:

$$\sigma(t) = m(t) * \varepsilon(t)$$

$$\varepsilon(t) = s(t) * \sigma(t)$$

dove:

- ▶ $\sigma(t) \implies$ sforzi
- ▶ $\varepsilon(t) \implies$ deformazioni
- ▶ $m(t) \implies$ risposta ad una deformazione impulsiva, dello stress
- ▶ $s(t) \implies$ risposta ad uno stress impulsivo, della deformazione

Ottingo le corrispondenti relazioni in frequenza:

$$\sigma(w) = M(w) * \varepsilon(w)$$

$$\varepsilon(w) = S(w) * \sigma(w)$$

dove:

- ▶ $M(w) \implies$ risposta in frequenza dello stress, chiamata Modulo Complesso
- ▶ $S(w) \implies$ risposta in frequenza della deformazione

Valgono dunque le relazioni:

$$m(t) * s(t) = \delta(t) \implies M(w) \cdot S(w) = 1$$

E vengono definite due funzioni (la definizione di queste deriva da prove sperimentali di sollecitazione) dalle quali sono poi derivate le rispettive risposte all'impulso:

- ▶ $\Upsilon(t) \implies$ risposta allo scalino dello stress
- ▶ $\Psi(t) \implies$ risposta allo scalino della deformazione